

## مقایسه روش‌های ناپارامتری طبقه‌بندی بردار پشتیبان و درخت تصمیم در برآورد ویژگی‌های کمی

### تک درختان بلوط ایرانی، تالاب هفت برم، روی تصاویر ماهواره‌ای WorldView-2

#### چکیده

یکی از متداول‌ترین کاربردهای جنگلداری، شناسایی درختان منفرد و ترکیب گونه‌های درختان با استفاده از تجزیه و تحلیل تصویر و طبقه‌بندی تصاویر ماهواره‌ای یا هوایی است. هدف از این مطالعه، ارزیابی روش‌های طبقه‌بندی بردار پشتیبان (SVM) و درخت تصمیم (DT) در برآورد ویژگی‌های کمی درختان بلوط در تصاویر WorldView-2 و تصاویر پهپادی (UAV) است. در این مطالعه، جنگل هفت برم شیراز، به‌عنوان منطقه مورد مطالعه به‌منظور بررسی پتانسیل تصاویر ماهواره‌ای WV-2 در سال ۱۳۹۴ مورد بررسی قرار گرفت. برآورد پارامترهای جنگلی با تمرکز روی استخراج تک‌درخت با استفاده از روش‌های طبقه‌بندی SVM و DT با ارزیابی ماتریس پیچیده و سطح زیر منحنی (AUC) با کمک تصویر هوایی فانتوم ۴ (UAV) در دو منطقه مجزا مورد ارزیابی قرار گرفت. داده‌ها با استفاده از آزمون‌های T مستقل، تحلیل رگرسیون چند متغیره، با استفاده از نرم‌افزار SPSS 2، Excel 2016، eCognition, 8.7، ENVI, 5، PCI Geomatica 16 و Google Earth 7.3 تحلیل شد. طبقه‌بندی بردار پشتیبان، بالاترین و بهترین دقت را در برآورد پارامترهای تک‌درخت داشت. روش طبقه‌بندی SVM، یک روش بسیار مفید برای شناسایی درختان بلوط در جنگل‌های کوهستانی زاگرس می‌باشد. با استفاده از داده‌های WV-2، پارامترهای درختان منفرد در جنگل می‌توانند استخراج شوند. روش بردار پشتیبان بر روی تصاویر WV-2 با صحت کلی SVM، ۹۶ درصد و ضریب کاپای آن ۰/۹۷ نتایج قابل قبولی را به دست آورد. نتایج حاصل از تجزیه و تحلیل رگرسیونی نشان داد که استفاده از تصاویر ماهواره‌ای WV-2 ( $R^2=0.98$ ) برای برآورد تاج پوشش درختان مناسب است. درحالی‌که پهپاد، پتانسیل ارائه راه‌حل‌های قابل انعطاف و عملی برای نقشه‌برداری جنگل‌ها را دارد، برخی از مسائل مربوط به کیفیت تصویر هنوز هم برای بهبود عملکرد طبقه‌بندی باید مورد توجه قرار گیرند.

**واژگان کلیدی:** تالاب هفت برم، WorldView-2، جداسازی درختان منفرد، تاج پوشش،

طبقه‌بندی کننده‌ها، بردار پشتیبان.

یوسف تقی ملایی<sup>۱</sup>

عبدالعلی کرمشاهی<sup>\*۲</sup>

مهرداد حیدری<sup>۳</sup>

سید یوسف عرفانی فرد<sup>۴</sup>

۱. دکتری جنگلداری، مدرس مرکز آموزش عالی اقلید، اقلید، ایران
- ۲ و ۳. دانشیار گروه علوم جنگل، دانشکده کشاورزی و منابع طبیعی، دانشگاه ایلام، ایلام، ایران
۴. دانشیار، بخش منابع طبیعی و محیط زیست، دانشکده کشاورزی، دانشگاه شیراز، شیراز، ایران

\*مسئول مکاتبات:

a.karamshahi@ilam.ac.ir

کد مقاله: ۱۳۹۹۰۳۰۶۵۱

تاریخ دریافت: ۱۳۹۷/۰۷/۰۳

تاریخ پذیرش: ۱۳۹۹/۰۳/۲۳

این مقاله پژوهشی و برگرفته از طرح

پژوهشی است.

#### مقدمه

داده‌های سنجش‌ازدور و داده‌های مشتق شده، منابع داده‌های مفیدی را برای تهیه نقشه از گونه‌های درختی فراهم می‌کنند (Fassnacht et al., 2016). به‌طور خاص، داده‌های با قدرت تفکیک مکانی بالا با جزئیات ریز مکانی، بسیار مناسب برای شناسایی در سطح گونه‌ها هستند (Ardila et al., 2011). بسیاری از مطالعات موجود از داده‌های مختلف تصویر، مانند تصاویر چند طیفی ماهواره‌ای و هوایی (Pu and Landry, 2012; Li et al., 2015)، تصاویر ابر طیفی هوایی (Alonzo et al., 2013; Xiao et al., 2004) با قدرت تفکیک مکانی بسیار بالا (VHR) و داده‌های سه‌بعدی هوایی LiDAR (تشخیص نور و متغیر) (Liu et al., 2017; Alonzo et al., 2014; Zhang et al., 2017)

2016, 2012, *al.*) استفاده نموده‌اند. از تصاویر چند طیفی VHR، مانند QuickBird، IKONOS و WordView-2 و تصاویر ابر طیفی، در تمایز گونه‌های مختلف درخت استفاده شده است (Li *et al.*, 2015; Immitzer *et al.*, 2012). باین حال، به دلیل شباهت طیفی گونه‌های درخت، اغلب از ویژگی‌های اضافی، مانند ویژگی‌های بافت و شکل که از تصاویر چند طیفی حاصل می‌شود (Li *et al.*, 2015) و نوارهای لبه قرمز و شاخص‌های پوشش گیاهی از تصاویر ابر طیفی استفاده شده است (Alonzo *et al.*, 2013).

جداسازی درختان منفرد و استخراج اطلاعات ساختاری درخت مرتبط از داده‌های سنجش‌ازدور، کاربرد بارزی در انواع فعالیت‌ها دارد. برای مثال اطلاعات با جزئیات زیاد در سطح درختان منفرد می‌تواند برای نظارت زادآوری جنگل (Liu *et al.*, 2019) کاهش کار میدانی موردنیاز برای آماربرداری (Irulappa-Pillai-Vijayakumar *et al.*, 2019)، نقشه‌سازی گونه‌ها (Feng and Li, 2019؛ Fasnacht *et al.*, 2016) و ارزیابی خسارت به جنگل مورد استفاده قرار گیرد (Stych *et al.*, 2019).

داده‌های جنگل که از روش‌های سنجش‌ازدور به دست می‌آید عمدتاً در سطح توده تمرکز می‌کنند (مانند بخش‌های از جنگل که از لحاظ اکولوژیکی همگن و به‌ویژه از نظر مکانی به هم پیوسته می‌باشند) و داده‌های در سطح پلات می‌باشند. هرچند متغیرهای سطح توده جنگل هم عمدتاً میانگین یا مجموعی از سری ترکیب درختان در توده می‌باشد. در محاسبه متغیرهای آماربرداری جنگل مانند حجم و بیوماس از توده در حال رشد، مدل‌های در سطح درخت منفرد عمدتاً امروزه استفاده می‌شود (Qiu *et al.*, 2020; Aubry-Kientz *et al.*, 2019).

داده‌های سنجش‌ازدور به ما اجازه می‌دهد که از سطح توده به سطح درختان منفرد کوچ کنیم که عمدتاً منافع مشخصی برای ما در جنگلداری دقیق، برنامه‌ریزی مدیریت جنگل، ارزیابی بیوماس و مدل‌سازی رشد جنگل دارد (Weinstein *et al.*, 2019).

دلایل استخراج در سطح تک‌درخت از تصاویر ماهواره‌ای با قدرت تفکیک بالا: ۱- اهمیت تک‌درختان و نگهداری آن‌ها؛ ۲- دشواری در داده‌برداری تک‌درختان که در مناطق صعب‌العبور قرار دارند؛ ۳- ضرورت دسترسی به روش سریع در برآورد ویژگی‌های کمی؛ ۴- اهمیت سنجش‌ازدور در آمار برای تک‌درختان می‌باشد (افزایش توان تفکیک مکانی قابلیت داده‌های ماهواره‌ای را به‌طور روزافزون، افزایش داده است). در زمینه برآورد ویژگی تک‌درختان بر روی تصاویر WorldView-2 (WV-2) تاکنون تحقیقی انجام نشده است.

در زمینه ارزیابی الگوریتم‌های طبقه‌بندی در استخراج درختان منفرد با تصاویر WV-2، تاکنون تحقیقی در داخل صورت نگرفته است، ولیکن در سایر کشورها، تحقیقات گسترده‌ای با تصاویر با قدرت تفکیک بالا صورت گرفته است. Stych و همکاران (۲۰۱۹) به مقایسه الگوریتم بردار پشتیبان و شبکه عصبی با تصاویر WV-2 و لندست ۸ پرداختند و نتیجه‌گیری نمودند که بردار پشتیبان، صحت بالاتری در شناسایی درختان جنگلی آسیب‌دیده از آفات دارد. Berhane و همکاران (۲۰۱۸) در ارزیابی روش پیکسل پایه و شی پایه در استخراج پوشش گیاهی تالاب در جنگل‌های روسیه با تصاویر QuickBird بیان نمودند که روش پیکسل پایه جنگل تصادفی، نتایج خوشایندتری در استخراج درختان غالب تالاب دارد. Berhane و همکاران (۲۰۱۸) با تهیه نقشه و آماربرداری درختان اطراف تالاب در سبیری روسیه با سه روش طبقه‌بندی درخت تصمیم، قانون مبنا و جنگل تصادفی بر روی تصاویر WV-2 پرداختند. طبقه‌بندی کننده جنگل تصادفی، موفقیت بالاتری در استخراج درختان منفرد تالاب داشت. Hartling و همکاران (۲۰۱۹) به طبقه‌بندی گونه‌های درختی با تصاویر WV-2 با طبقه‌بندی شبکه عصبی، جنگل تصادفی و بردار پشتیبان در جنگل‌های پارک میسوری آمریکا پرداختند. نتایج نشان داد که شبکه عصبی با صحت ۸۲/۴ درصد، بردار پشتیبان با صحت ۸۲/۲ درصد و جنگل تصادفی با صحت ۸۰/۴ درصد به ترتیب صحت بالاتری در استخراج درختان منفرد نشان دادند. Braga و همکاران (۲۰۲۰) از تصاویر WV-2 برای استخراج تاج پوشش درختان پرداختند. روش پیکسل پایه بر روی تصاویر با قدرت تفکیک بالای WV-2 برای آماربرداری جنگل‌های تروپیکال با تنوع بالا، مناسب است. Dong و همکاران (۲۰۲۰) در ارزیابی دقت استخراج اطلاعات درختان منفرد با تصاویر با قدرت تفکیک بالای UAV بیان نمودند که صحت کشف درختان بالا است (تقریباً ۹۹ درصد نرخ کشف) که در شناسایی درختان کوچک، نقص دارد. مساحت و قطر بر روی تصاویر هوایی، با صحت بالایی برآورد شدند. طبقه‌بندی بردار پشتیبان به‌طور عمده برای طبقه‌بندی درختان جنگلی استفاده می‌شود (Li *et al.*, 2015; Kwak *et al.*, 2017; Liu *et al.*, 2017). در مطالعه کنونی از دو الگوریتم بردار پشتیبان و درخت تصمیم

استفاده شده است. طبقه‌بندی بردار پشتیبان (Support vector machines - SVM): مفهوم بردار پشتیبان (SVM) اولین بار توسط محقق روسی به نام Vapnik در سال ۱۹۹۵ میلادی مطرح شد (Vapnik, 2013). ویژگی طبقه‌بندی آن طراحی دسته‌بندی کننده‌ها با حداکثر تعمیم است (Burges, 1998). ماشین بردار یک سیستم یادگیری است که بر اساس تئوری بهینه‌سازی با استفاده از اصل کمینه‌سازی خطای ساختاری به یک جواب بهینه می‌رسد. مدل رگرسیون بردار پشتیبان، تابعی است که با متغیر وابسته  $Y$ ، متغیر مستقل  $X$  که خود چند متغیر است را برآورد می‌کند (Gunn, 1998). در عمده مطالعات از توابع کرنل پایه شعاعی (RBF) آن استفاده می‌شود. ماشین بردار، یک طبقه‌بندی کننده دودویی است (Steinwart and Christmann, 2008).

طبقه‌بندی درخت تصمیم (Decision Tree-DT): اولین بار مدل درختی برای ایجاد رابطه بین متغیرهای مستقل و وابسته ارائه شد (Quinlan, 1992). روش درخت تصمیم در مطالعات قبلی برای استخراج جنگل به کاررفته است (Liu et al., 2008; Heumann, 2011). درخت تصمیم یک فرآیند طبقه‌بندی است که به طور تکراری یک سری داده آموزشی را به زیر بخش‌های کوچک‌تر بر مبنای آزمایش‌ها به یک یا بیشتر از ارزش‌های عارضه تقسیم می‌کند (Liu et al., 2008; Tooke et al., 2009). درخت تصمیم به بیشتر طبقه‌بندی‌ها مانند حداکثر شباهت (MLC) هیچ شباهتی ندارد، زیرا وابسته به فرض خاصی بر روی توزیع متغیرها نیست یا متغیرها از یکدیگر مستقل هستند (Liu et al., 1993; Quinlan, 1993; Friedl and Brodley, 1997; Pal and Mather, 2003). این مزیتی است که می‌توانیم داده‌های GIS را با طبقه‌بندی ادغام کنیم که اغلب پراکنش داده‌ها گسترده است و شکل‌های مختلفی نیز دارند، ولیکن همبستگی بالایی با یکدیگر دارند (Jensen, 2005; Liu et al., 2008). درخت تصمیم در ENVI/IDL با داده‌های سنجش‌ازدور به خوبی اجرا می‌شود و هر پیکسل را به کلاس خاصی اختصاص می‌دهد (Liu et al., 2008; Quinlan, 1986; Xu et al., 2005).

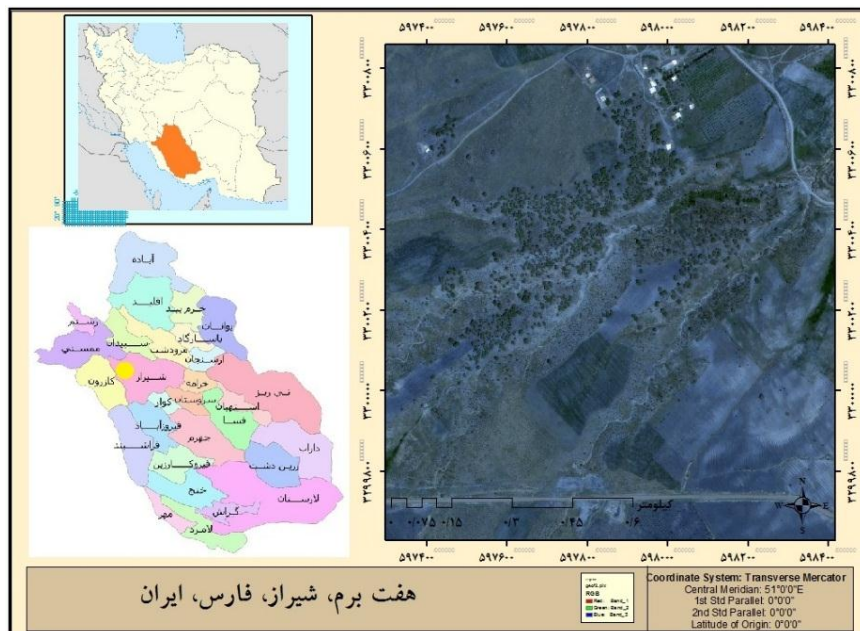
با راه‌اندازی ماهواره WV-2 از راه دور با قدرت تفکیک بالا، داده‌های حساس با هشت باند طیفی از آبی تا قسمت‌های مادون قرمز نزدیک طیف الکترومغناطیسی در دسترس کاربران قرار گرفت. این ماهواره شامل باندهای اضافی، آبی ساحلی (۴۰۰-۴۵۰ نانومتر)، زرد (۵۸۵-۶۲۵ نانومتر)، قرمز لبه (۷۰۵-۷۴۵ نانومتر) و مادون قرمز نزدیک (۸۶۰-۱۰۴۰ نانومتر) می‌باشد که می‌تواند بیش از ۳۰ درصد صحت طبقه‌بندی را افزایش دهد. تصاویر ۸ باندهای سنسور جدید WV-2 که اخیراً راه‌اندازی شده است، یک تصویر مقرون به صرفه می‌باشد. ترکیب طیفی ۸ باند و یک قدرت تفکیک بسیار بالا با وضوح ۰/۵ متر را برای اولین بار ایجاد نموده است که فرصت‌های جدیدی را برای برنامه‌های کاربردی طبقه‌بندی پوشش اراضی جنگلی ارائه داده است.

در مطالعات پیشین ارزیابی صحت برآورد مساحت تاج با استفاده از داده‌های میدانی انجام می‌شود که در آن‌ها عمدتاً شکل تاج درختان به صورت دایره‌ای در نظر گرفته شده و مساحت تاج از میانگین قطر به دست می‌آید. در صورتی که درختان با توجه به شرایط رویشگاهی ممکن است از تاج‌های با شکل‌های غیر هندسی برخوردار باشند؛ بنابراین ضروری به نظر می‌رسد که ارزیابی صحت مساحت‌های تاج برآورد شده در داده‌های ماهواره‌ای با استفاده از داده‌های قابل اطمینان‌تر مانند تصاویر هوایی UAV انجام شود. در زمینه بررسی کارایی طبقه‌بندی شی پایه که طبقه‌بندی بسیار مطلوب کاربران است مطالعه کمی صورت گرفته است.

هدف از این مطالعه، بررسی پتانسیل تصاویر ماهواره‌ای WV-2 برای طبقه‌بندی پوشش گیاهی به دو روش بردار پشتیبان و درخت تصمیم در جنگل‌های تالاب هفت برم شیراز است.

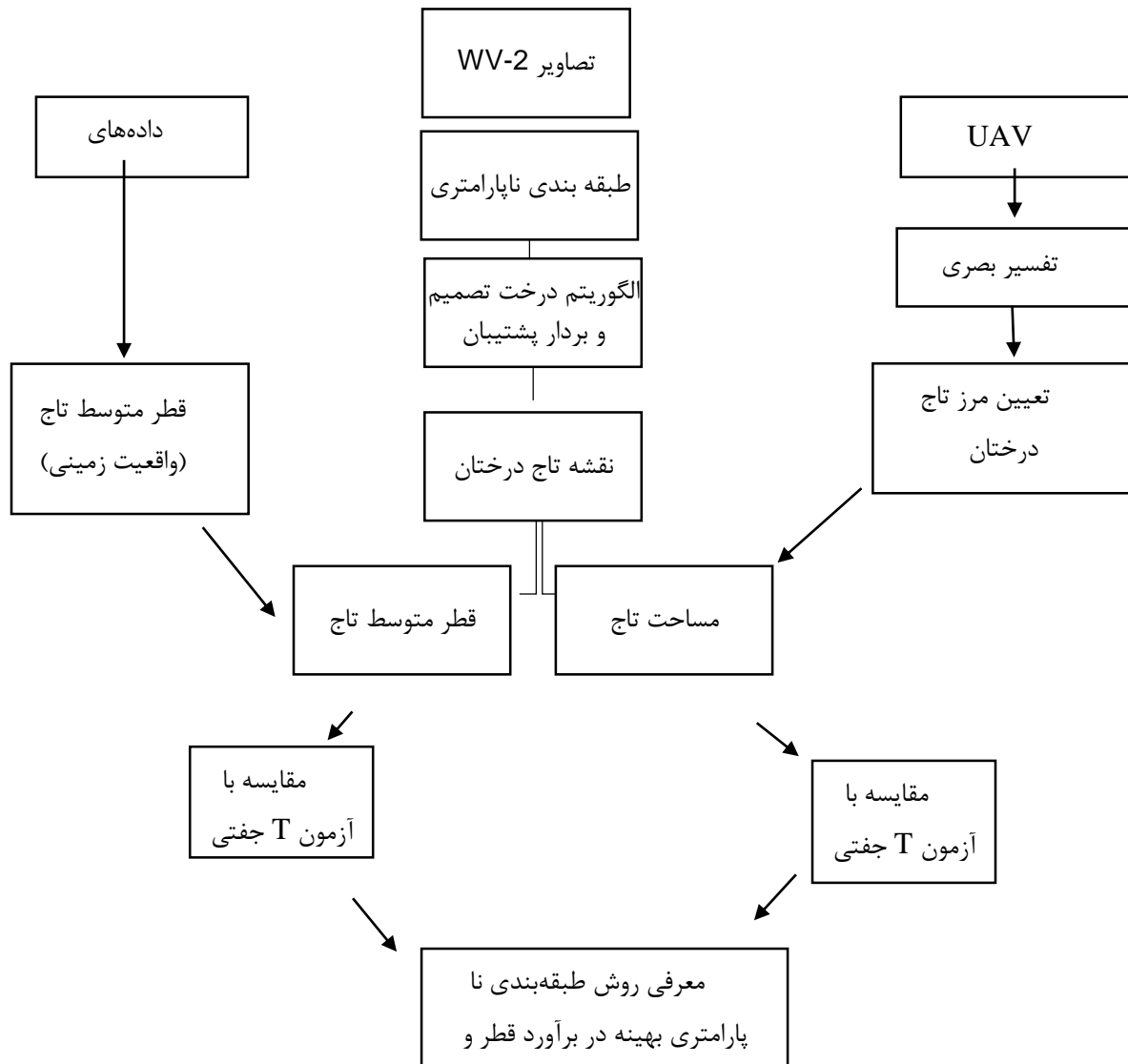
## مواد و روش‌ها

مجموعه دریاچه‌های هفت برم در موقعیت عرض جغرافیایی ۲۹°۴۹' شمالی و طول جغرافیایی ۲۷°۵۲' شرقی در استان فارس واقع است. این دریاچه‌ها در ۵۵ کیلومتری غرب شیراز و شمال شرقی منطقه حفاظت‌شده ارژن و پریشان واقع شده‌اند و ۲۱۵۰ متر از سطح دریا ارتفاع و ۱۰۱۰ میلی‌متر بارندگی دارند. این مطالعه در دو سایت مختلف در منطقه هفت برم شیراز اجرا شد؛ که مساحت سایت اول روستای بله زار ۱۰۶ هکتار و سایت دوم روستای آب انار ۱۵۰ هکتار می‌باشد (شکل ۱).



شکل ۱: منطقه مورد مطالعه. تالاب هفت برم (سال بررسی ۱۳۹۴).

داده‌هایی که در این تحقیق مورد استفاده قرار گرفتند شامل تصویر ماهواره WV-2 مربوط به تاریخ ۲۱ خرداد ۱۳۹۴ با قدرت تفکیک ۱/۸ متر و باندهای پانکروماتیک (قدرت تفکیک مکانی ۰/۵ متر) و تصاویر هوایی UAV با قدرت تفکیک ۳ سانتی‌متر، نقشه‌های توپوگرافی سازمان نقشه‌برداری با مقیاس ۱:۲۵۰۰۰ و نقاطی که توسط GPS سه فرکانسه از منطقه برداشت شده است. تصاویر Worldview-2 با استفاده از نه نقاط برداشتی با GPS سه فرکانسه مدل GS15 به روش آریتیکی و استاتیک زمین مرجع شد و سیستم تصویر UTM در نظر گرفته شد. سپس تصاویر ادغام شده با قدرت تفکیک ۰/۵ متر با ترکیب چهار باند چند طیفی و پانکروماتیک (Pansharpenning) ایجاد گردید. جهت برداشت پیرامون درختان با توجه به انبوه بودن جنگل منطقه، اقدام به تهیه تصاویر پهپادی از فانتوم ۴ پرو گرفته شد. فانتوم ۴ پرو به یک دوربین یک اینچی CMOS مجهز شده است که می‌تواند با کیفیت ۲۰ مگاپیکسل تصویربرداری کند. دینامیک رنج این دوربین ۱۱/۶ می‌باشد ( Phantom, 2018). محل پلات‌ها با Global Positioning System (GPS) سه فرکانسه برداشت و با مارک روی زمین مشخص شد. هر دو سایت با سه پرواز در تاریخ ۲۲ و ۲۳ آبان ۱۳۹۴ برداشت گردید. برای اجرای دقیق ژئورفرنس نمودن، ۱۵۰ نقطه کنترل زمینی (Ground Control Points (GCPs)) در محدوده جنگل پیاده گردید. نقاط کنترل زمینی با نوارهای آبی‌رنگ ۵۰×۵۰ سانتی‌متر علامت‌گذاری شدند. مختصات نقاط کنترل زمینی با Leica GPS1200 GPS در روش استاتیک و آریتیکی (۱ سانتی‌متر مسطحاتی و ۱/۵ سانتی‌متر ارتفاعی) در سیستم مختصات UTM برداشت گردید (شکل ۲).



شکل ۲: نمایی شماتیک از مراحل بررسی الگوریتم‌ها در استخراج قطر و تاج درختان (سال بررسی ۱۳۹۴).

با توجه به طبیعت منحصر به فرد درختان بلوط در جنگل‌های زاگرس، بخش بندی آن‌ها بر مبنای کاربرد ارزش‌های آستانه‌ایی از انعکاس‌های طیفی، دانش بصری از داده‌ها و کاربر از منطقه مطالعاتی صورت گرفت. با استفاده از میانگین طیفی عارضه و تعیین آستانه مناسب در باند ۳ و ۴ و مادون قرمز نزدیک و شاخص نسبت باندی، کلاسه هدف پوشش گیاهی (رابطه ۱)، جداسازی عارضه جنگل صورت گرفت.

$$R1 = \frac{R - NIR1}{R + NIR1} \quad \text{رابطه ۱:}$$

پس از انتخاب داده‌های آموزشی، آن‌ها به صورت یک لایه موضوعی، لایه TTA (Thematic training mask) در نرم‌افزار ذخیره شد تا در طی فرآیند از آن‌ها استفاده شود و برای روش‌های مختلف طبقه بندی از داده‌های آموزشی یکسان استفاده شد. طبقه بندی به سه روش

انجام شد. پس از استخراج عارضه جنگل به سه روش موردنظر، نتایج حاصل، دقت سنجی شدند. برای این کار ۱۰۰ نقطه به صورت تصادفی بر روی تصاویر ایجاد شد و مرز تاج پوشش درختان این نقاط از روی تصاویر UAV مشخص شدند.

ارزیابی صحت به دو روش، روش معمول که از ضریب کاپا استفاده شد و روش دوم با استفاده از روش AUC صورت گرفت.

روش AUC (area under operating characteristic curve): برای رسم این منحنی، باید محور X که نمایانگر «ویژگی-۱»

(رابطه ۲) و محور Y که حاوی «حساسیت» (رابطه ۳) است به ازای هر مقدار از آستانه طبقه موردنظر محاسبه گردد.

$$\text{رابطه ۲: } \text{ویژگی} = \frac{TN}{TN+FP}$$

$$\text{رابطه ۳: } \text{حساسیت} = \frac{TP}{TP+FN}$$

برای بررسی میزان تطابق مکانی طبقه شناسایی شده روی تصویر هوایی و واقعیت زمینی از «دقت» (رابطه ۴) و برای ارزیابی درستی تخصیص

یک سلول به طبقه موردنظر از معیار «صحت» (رابطه ۵) استفاده شد. در رابطه ۵، n تعداد کل سلول‌های طبقه‌بندی شده است (Erfanifard, 2014).

$$\text{رابطه ۴: } \text{دقت} = \frac{TP}{TP+FP}$$

$$\text{رابطه ۵: } \text{صحت} = \frac{TP+TN}{n}$$

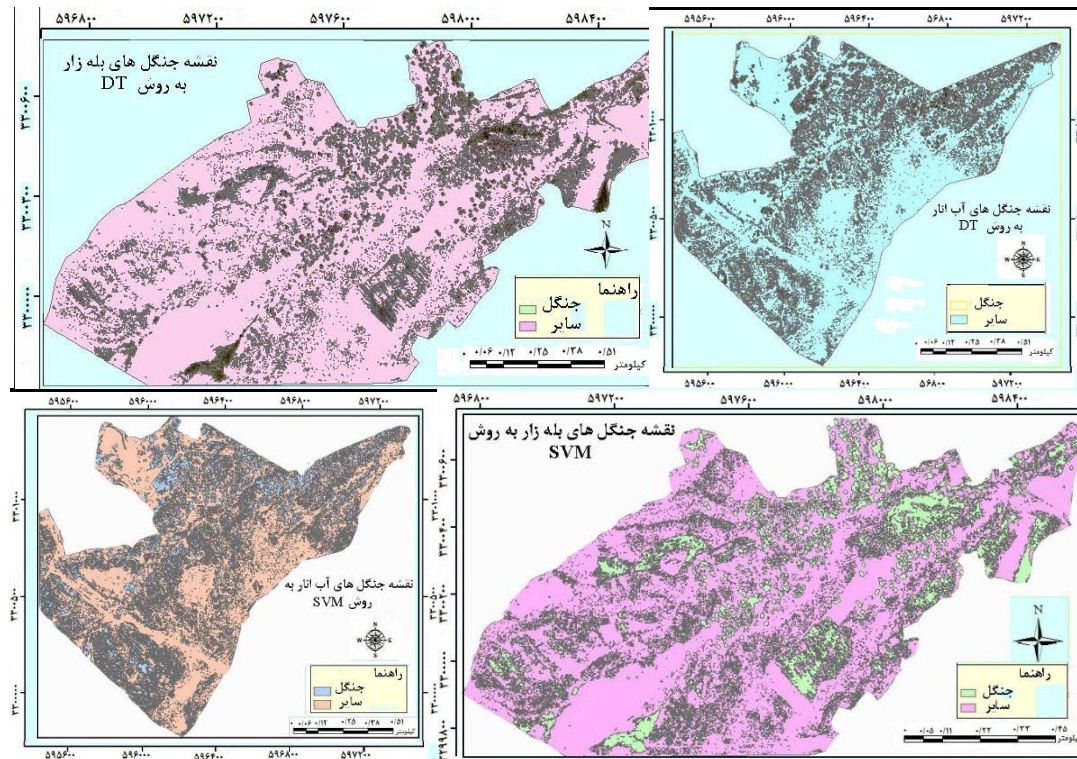
روش نمونه‌برداری ویژگی‌های کمی و کیفی جنگل، روش منظم سیستماتیک استفاده شد که شبکه‌ای مستطیل شکل به ابعاد ۲۰۰×۲۰۰ متر در تصویر منطقه پیاده شد و قطعات نمونه‌ای مستطیل شکل به ابعاد ۴۰×۴۰ متر در منطقه پیاده شد که جمعاً ۶۳ قطعه نمونه (۳۶ قطعه روستای آب‌انار و ۲۷ قطعه روستای بله‌زار) در هر دو سایت برداشت شد و در هر قطعه نمونه ویژگی‌های پوشش گیاهی مدنظر شامل قطر بزرگ و کوچک همه درختان، قطر برابر سینه diameter at breast height (DBH) وضعیت تاج پوشش درخت، سلامتی درخت ثبت گردید.

برآورد مساحت تاج پوشش درختان جنگل‌های بله‌زار روی تصاویر WV-2 و UAV: نمونه‌برداری با شبکه آماری ۲۰۰×۲۰۰ مترمربعی روی سطح زمین و تصاویر ماهواره‌ای WV-2 انجام گرفت که ۲۷ پلات ۱۶۰۰ مترمربعی (۴۰×۴۰ متر) در سایت یک، روستای بله‌زار و ۳۳ پلات در سایت دو، روستای انار برداشت گردید. در هر قطعه نمونه، قطر بزرگ و کوچک، قطر برابر سینه و سپس مساحت تاج پوشش (رابطه ۵) برداشت گردید. آماره‌های کمی برداشت شده در جنگل‌های روستای بله‌زار شامل تعداد نمونه‌ها، میانگین، انحراف معیار و خطای معیار در دو روش آماربرداری درصد تاج پوشش زمینی و تصویر ماهواره‌ای WV-2 در جدول ۱ ارائه شده است. در هر قطعه نمونه بر اساس رابطه ۶ مساحت تاج پوشش محاسبه گردید. سپس با انتقال مساحت‌های تاج پوشش به دست آمده به محیط SPSS نسخه بیست و پنجم، تجزیه و تحلیل انجام شد (جدول ۱).

$$\text{رابطه ۶: } \text{سطح تاج پوشش} = \pi/4 \times (\text{قطر متوسط تاج})^2$$

## نتایج

در شکل ۳ نتایج حاصل از دو نوع طبقه‌بندی ماشین بردار پشتیبان و درخت تصمیم نشان داده شده است. همان‌طور که مشاهده می‌گردد کیفیت طبقه‌بندی‌ها تقریباً مشابه هم هستند؛ اما دارای تفاوت‌های در دقت می‌باشند. ارزیابی صحت به دو روش انجام شد: روش معمول ضریب کاپا و روش AUC. در جداول ارزیابی صحت، ماتریس خطا، دقت کلی، ضرایب کاپا، دقت تولیدکننده و دقت استفاده‌کننده به تفکیک هر روش آورده شده است.



شکل ۳: نقشه عارضه جنگل با طبقه‌بندی بردار پشتیبان و درخت تصمیم به ترتیب از سمت راست جنگل‌های روستای بله‌زار (سایت ۱)، جنگل‌های روستای انار (سایت ۲) (سال بررسی ۱۳۹۴).

ابتدا نرمال بودن توزیع داده‌ها با آزمون کولموگروف اسمیرنوف بررسی شد. نتیجه آزمون نشان داد که همه داده‌ها پراکنش نرمال دارند و در سطح ۹۹ درصد معنی‌دار هستند. برای مقایسه مساحت تاج پوشش به‌دست‌آمده از آماربرداری تصویر ماهواره‌ای WV-2 و تصادفی زمینی از آزمون T غیرمستقل در سطح اطمینان ۹۵ درصد استفاده شد. نتیجه آزمون T جفتی بین داده‌های به‌دست‌آمده از اندازه‌گیری در عرصه جنگل و تصویر نشان داد که اختلاف معنی‌داری بین اندازه‌گیری مساحت تاج پوشش در دو روش در سطح معنی‌داری ۹۵ درصد وجود ندارد ( $df=99$ ,  $T=1.984$ ). نمودار شکل ۲ ترسیم‌شده، نشان‌دهنده صحت مطلب است. نتایج آنالیز رگرسیون نشان داد که تصاویر ماهواره‌ای با ضریب تبیین تقریباً بالای ۰/۹۵ ( $R^2=95\%$ ) نشان‌دهنده این است که می‌توان مساحت تاج پوشش درختان را با دقت بالا از تصاویر ماهواره‌ای WV-2 به دست آورد (جدول ۱ و ۲ مدل آماری). در جدول ۲ مدل آماری، مساحت تاج پوشش در روی زمین به‌عنوان متغیر وابسته و مساحت تاج پوشش در روی تصاویر ماهواره‌ای به‌عنوان متغیر مستقل در نظر گرفته شده است. نتایج حاصل از تجزیه واریانس و آزمون ضرایب نشان می‌دهد که از تصاویر ماهواره‌ای WV-2 می‌توان برای برآورد سطح تاج پوشش استفاده نمود. ابر نقاط در نمودار شکل ۴ رسم شده است. در محور X، سطح تاج روی تصویر ماهواره‌ای و محور Y، سطح تاج روی زمین است.

جدول ۱ (الف): مشخصات آماری سطح تاج پوشش درختان جنگل‌های بله‌زار (سال بررسی ۱۳۹۴).

متغیر تاج پوشش در آماربرداری جنگل‌های بله‌زار	روش آماربرداری UAV	بردار پشتیبان تصاویر ماهواره‌ای WV-2	درخت تصمیم تصاویر ماهواره‌ای WV-2
تعداد نمونه	۱۰۰	۱۰۰	۱۰۰
میانگین (مترمربع)	۶۸,۴۸	۶۶,۶۱	۶۶,۹۲
انحراف معیار (مترمربع)	۴۱,۶۳	۴۰,۳۶	۴۰,۹۶
خطای معیار (مترمربع)	۴,۱۶	۴,۰۳	۴,۰۹

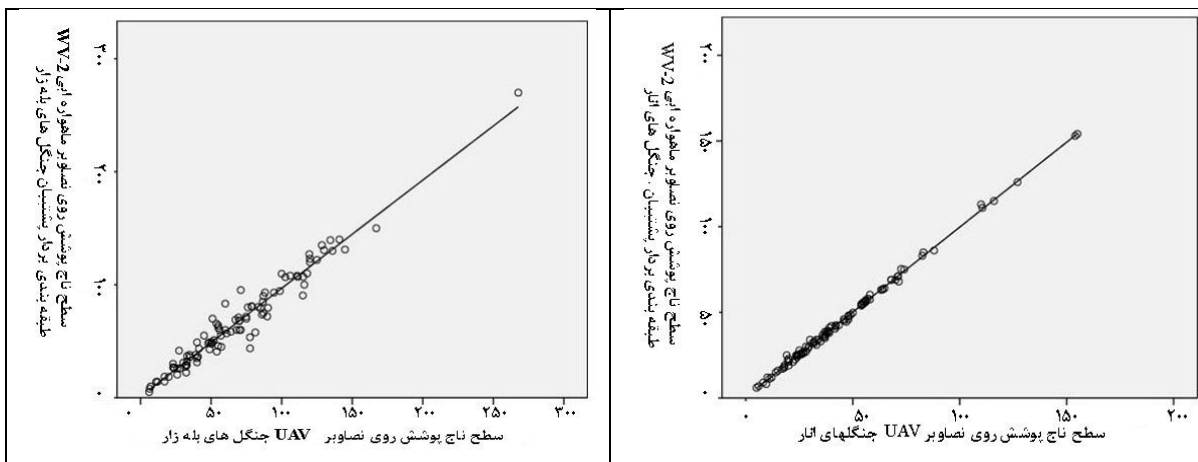
جدول ۱ (ب): مشخصات آماری سطح تاج پوشش درختان جنگل‌های انار (سال بررسی ۱۳۹۴).

متغیر تاج پوشش در آماربرداری جنگل‌های انار	روش آماربرداری UAV	بردار پشتیبان تصاویر ماهواره‌ای WV-2	درخت تصمیم تصاویر ماهواره‌ای WV-2
تعداد نمونه	۱۰۰	۱۰۰	۱۰۰
میانگین (مترمربع)	۴۴,۶۲	۴۸,۶	۴۴,۲۳
انحراف معیار (مترمربع)	۲۸,۹	۳۴,۵۹	۳۰,۱۱
خطای معیار (مترمربع)	۲,۸۹	۳,۴۶	۳,۰۱

جدول ۲: مدل آماری سطح تاج پوشش تصاویر ماهواره‌ای WV-2 و UAV جنگل‌های روستای بله‌زار و انار

(سال بررسی ۱۳۹۴).

نام	مدل	ضریب $R^2$	ضریب R	مدل آماری
درخت تصمیم بله‌زار	خطی	۰/۹۶۴	۰/۹۸۲	$Y = -0.893 + 0.943X$
درخت تصمیم انار	خطی	۰/۶۳۲	۰/۷۹۵	$Y = 12.314 + 0.665X$
بردار پشتیبان بله‌زار	خطی	۰/۹۴۹	۰/۹۷۴	$Y = 2.195 + 0.99X$
بردار پشتیبان انار	خطی	۰/۹۸۲	۰/۹۹۱	$Y = 2.534 + 0.952$



شکل ۴ (الف): ارزیابی صحت سطح تاج پوشش در طبقه‌بندی بردار پشتیبان تصاویر ماهواره‌ای WV-2 و تصاویر

UAV جنگل‌های روستای بله‌زار و انار (مترمربع) (سال بررسی ۱۳۹۴).

ارزیابی صحت قطر متوسط تاج پوشش در تصاویر ماهواره‌ای WV-2 با روی زمین در جنگل‌های روستای بله‌زار و انار: ابتدا نرمال بودن توزیع داده‌ها با آزمون کولموگروف اسمیرنوف بررسی شد. نتیجه آزمون نشان داد که همه داده‌ها پراکنش نرمال دارند و در سطح ۹۹ درصد معنی‌دار هستند. برای مقایسه قطر متوسط تاج پوشش به‌دست‌آمده از آماربرداری تصویر ماهواره‌ای WV-2 و تصادفی زمینی از آزمون T جفتی در سطح اطمینان ۹۵ درصد استفاده شد. نتیجه آزمون T جفتی بین داده‌های به‌دست‌آمده از اندازه‌گیری در عرصه جنگل و تصویر نشان داد که اختلاف معنی‌داری بین اندازه‌گیری مساحت تاج پوشش در دو روش در سطح معنی‌داری ۹۵ درصد وجود ندارد (df=99, T=1.984). نمودار شکل ۵ ترسیم‌شده، نشان‌دهنده صحت مطلب است. نتایج آنالیز رگرسیون نشان داد که تصاویر ماهواره‌ای با ضریب تبیین تقریباً بالای ۰/۹۵ (R2=۹۵ درصد) نشان‌دهنده این است که می‌توان قطر متوسط تاج پوشش درختان را با دقت بالا از تصاویر ماهواره‌ای WV-2 به دست آورد (جداول ۳ و ۴ مدل آماری).

### جدول ۳ الف: مشخصات آماری قطر متوسط تاج پوشش درختان جنگل‌های بله‌زار (سال بررسی ۱۳۹۴).

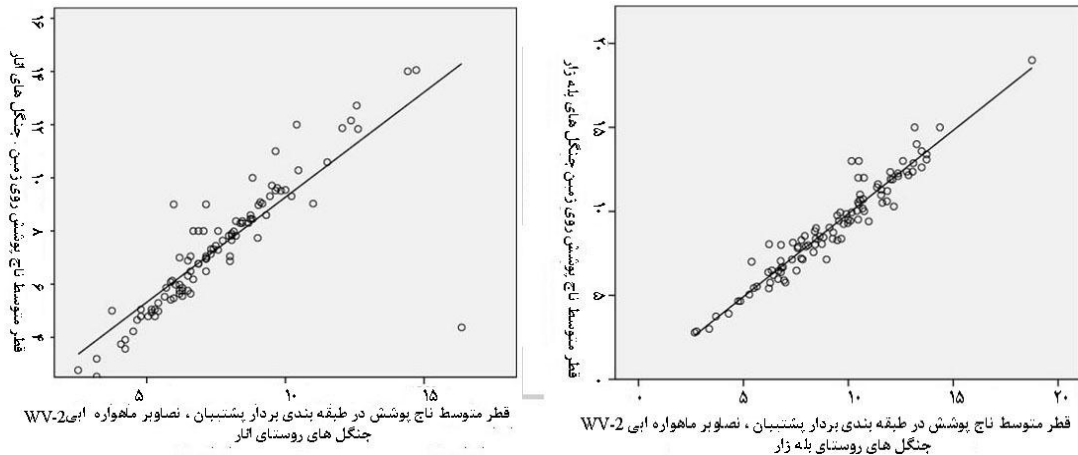
میانگین (متر)	تعداد نمونه‌ها	انحراف معیار	خطای معیار (متر)	
۹,۱۲۷۹	۱۰۰	۲,۹۵۹۰۸	۰,۲۹۵۹۱	قطر متوسط تاج پوشش روی زمین
۹,۲۵۰۴	۱۰۰	۲,۸۷۷۸۷	۰,۲۸۷۷۹	قطر متوسط تاج پوشش در بردار پشته‌بان
۸,۹۶۵۶	۱۰۰	۲,۷۸۱۹۷	۰,۲۷۸۲۰	قطر متوسط تاج پوشش در درخت تصمیم

### جدول ۳ ب: مشخصات آماری قطر متوسط تاج پوشش درختان جنگل‌های انار (سال بررسی ۱۳۹۴).

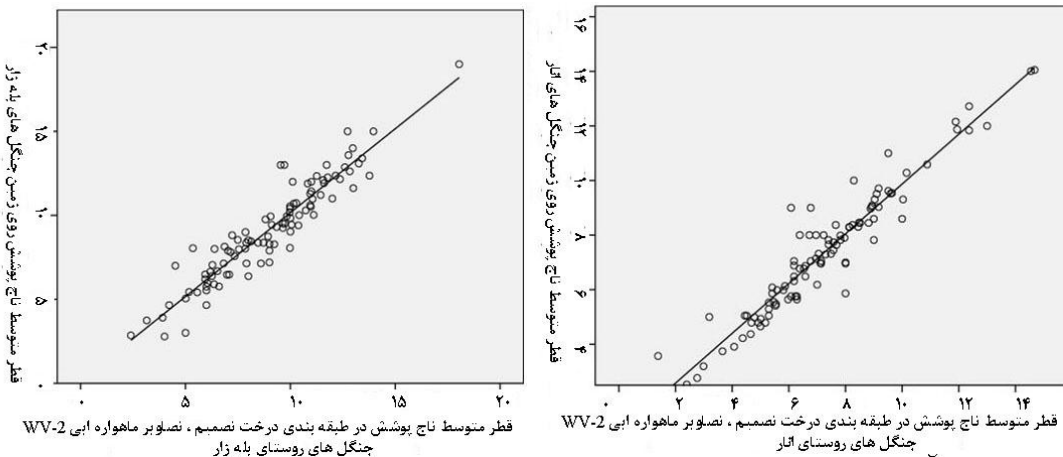
میانگین (متر)	تعداد نمونه‌ها	انحراف معیار	خطای معیار	
۷,۳۷۰۷	۱۰۰	۲,۳۲۴۳۲	۰,۲۳۲۴۳	قطر متوسط تاج پوشش روی زمین
۷,۵۹۲۷	۱۰۰	۲,۴۷۵۷۶	۰,۲۴۷۵۸	قطر متوسط تاج پوشش در بردار پشته‌بان
۷,۲۵۵۵	۱۰۰	۲,۳۳۴۳۴	۰,۲۳۳۴۲	قطر متوسط تاج پوشش در درخت تصمیم

### جدول ۴: مدل آماری قطر متوسط تاج پوشش در تصاویر ماهواره‌ای WV-2 و روی زمین جنگل‌های روستای بله‌زار و انار (سال بررسی ۱۳۹۴).

نام	مدل	ضریب R <sup>2</sup>	ضریب r	مدل آماری
درخت تصمیم بله‌زار	خطی	۰/۸۲۸	۰/۹۶۳	$Y = -0.035 + 0.991X$
درخت تصمیم انار	خطی	۰/۷۰۸	۰/۸۴۲	$Y = 1.372 + 0.790X$
بردار پشته‌بان بله‌زار	خطی	۰/۸۸۳	۰/۹۳۹	$Y = 0.169 + 0.999X$
بردار پشته‌بان انار	خطی	۰/۹۱۵	۰/۹۱۲	$Y = 0.756 + 0.912X$



شکل ۵ (الف): ارزیابی صحت قطر متوسط تاج پوشش در طبقه‌بندی بردار پشتیبان تصاویر ماهواره‌ای WV-2 و روی زمین جنگل‌های روستای بله‌زار و انار (متر) (سال بررسی ۱۳۹۴).



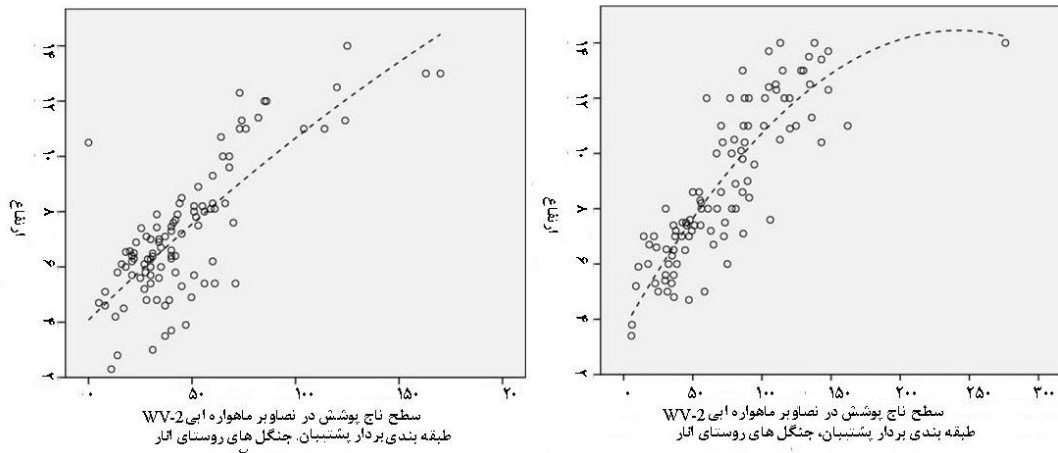
شکل ۵ ب: ارزیابی صحت قطر متوسط تاج پوشش در طبقه‌بندی درخت تصمیم تصاویر ماهواره‌ای WV-2 و روی زمین جنگل‌های روستای بله‌زار و انار (متر) (سال بررسی ۱۳۹۴).

ارزیابی صحت سطح تاج پوشش در تصاویر WV-2 با ارتفاع درختان در جنگل‌های روستای بله‌زار و انار: ابتدا نرمال بودن توزیع داده‌ها با آزمون کولموگروف اسمیرنوف بررسی شد. نتیجه آزمون نشان داد که همه داده‌ها پراکنش نرمال دارند و در سطح ۹۹ درصد معنی‌دار هستند. نتایج آنالیز رگرسیون نشان داد که تصاویر ماهواره‌ای با ضریب تبیین خوبی (۰/۶۸) (۶۸ درصد  $R^2$ ) نشان‌دهنده این است که می‌توان ارتفاع را با دقت مناسبی از تصاویر ماهواره‌ای WV-2 به دست آورد (جدول ۵ مدل آماری و شکل ۶).

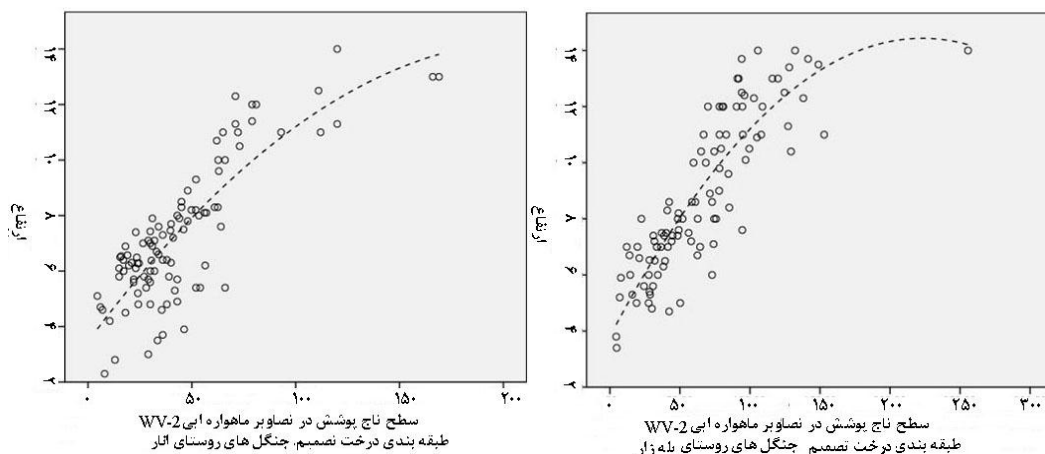
جدول ۵: مدل آماری سطح تاج پوشش در تصاویر WV-2 و ارتفاع درختان در جنگل‌های روستای بله‌زار و انار (سال بررسی ۱۳۹۴).

نام	مدل	ضریب $R^2$	ضریب $r$	مدل آماری
درخت تصمیم بله‌زار	خطی	۰/۶۸۳	۰/۸۲۷	$Y = 4.974 + 0.053X$

$Y = 4.347 + 0.063X$	۰/۷۷۵	۰/۶۰۰	خطی	درخت تصمیم انار
$Y = 5.084 + 0.057X$	۰/۸۲۴	۰/۶۹۵	خطی	بردار پشتیبان بله زار
$Y = 4.299 + 0.067X$	۰/۸۱۱	۰/۶۵۷	خطی	بردار پشتیبان انار



شکل ۶ (الف): ارزیابی صحت سطح تاج پوشش به مترمربع در طبقه‌بندی بردار پشتیبان در تصاویر ماهواره‌ای WV-2 و ارتفاع درختان جنگل‌های روستای بله‌زار و انار (متر) (سال بررسی ۱۳۹۴).



شکل ۶ (ب): ارزیابی صحت سطح تاج پوشش به مترمربع در طبقه‌بندی درخت تصمیم در تصاویر ماهواره‌ای WV-2 و ارتفاع درختان جنگل‌های روستای بله‌زار و انار (متر) (سال بررسی ۱۳۹۴).

ارزیابی صحت: در جدول ۵ و ۶ نتایج منحنی ROC در هر دو سایت ارائه شده است. جدول ۶ خلاصه نتایج حاصل از محاسبه شاخص‌های منحنی ROC و مؤلفه‌های آن در طبقه‌بندی کاربری جنگل و سایر با طبقه‌بندی کننده‌های درخت تصمیم و SVM در جنگل‌های روستای بله‌زار و انار، هفت برم شیراز، سایت یک و دو را نشان می‌دهد.

**جدول ۶: نتایج ROC در روستای بله زار و انار (سال بررسی ۱۳۹۴).**

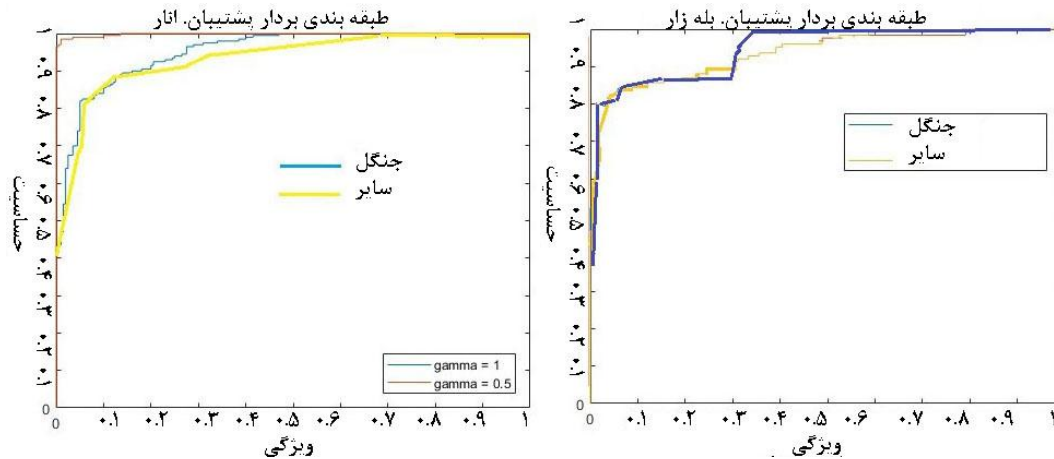
شاخص‌ها	بله زار				انار			
	SVM		DT		SVM		DT	
	سایر	جنگل	سایر	جنگل	سایر	جنگل	سایر	جنگل
TP	۷۳۱۵	۴۳۵۸	۵۹۵۴	۶۲۵۲	۴۴۸۰	۳۲۸۹	۴۴۶۹	۳۲۹۸
FP	۴	۷۹۱	۲	۲۶۰	۳۰	۲۷۲	۲۱	۲۸۳
FN	۷۹۱	۴	۲۶۰	۲	۲۷۲	۳۰	۲۸۳	۲۱
TN	۴۳۵۸	۷۳۱۵	۶۲۵۲	۵۹۵۴	۳۲۸۹	۴۴۸۰	۳۲۹۸	۴۴۶۹
ویژگی	۰,۳۷۳	۰,۹۰۲	۰,۹۹۶	۰,۹۵۸	۰,۹۹۱	۰,۹۴۳	۰,۹۹۳	۰,۹۴۰
حساسیت	۰,۶۲۷	۰,۹۹۷	۰,۹۵۸	۰,۹۹۶	۰,۹۴۳	۰,۹۹۱	۰,۹۳۴	۰,۹۹۳
دقت	۰,۹۹۱	۰,۸۴۶	۰,۹۹۰	۰,۹۶۰	۰,۹۹۳	۰,۹۲۴	۰,۹۹۵	۰,۹۲۱
صحت	۰,۹۳۶	۰,۹۳۶	۰,۹۷۹	۰,۹۷۹	۰,۹۶۱	۰,۹۶۰	۰,۹۶۲	۰,۹۶۲
سطح زیر منحنی AUC	۰,۷۸۸	۰,۷۵۰	۰,۸۹۳	۰,۸۳۸	۰,۸۹۱	۰,۸۴۴	۰,۹۳۱	۰,۹۱۲

جدول ۷ خلاصه نتایج حاصل از محاسبه شاخص‌های رایج در طبقه‌بندی کننده‌های درخت تصمیم و SVM در جنگل‌های روستای بله‌زار و انار، هفت برم شیراز، سایت یک و دو را نشان می‌دهد.

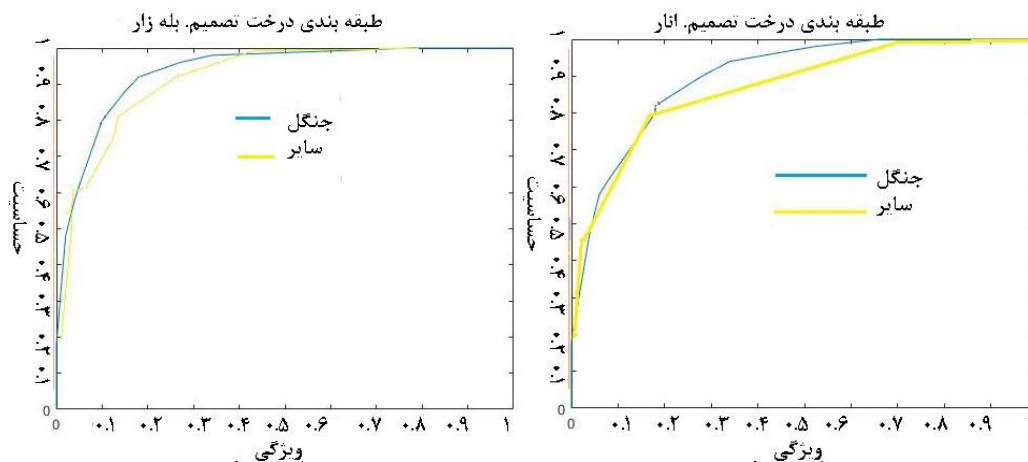
**جدول ۷: صحت طبقه‌بندی در بله‌زار و انار (سال بررسی ۱۳۹۴).**

شاخص	بله زار		انار	
	SVM	DT	SVM	DT
طبقات				
جنگل	۰,۵۰۰	۰,۹۷۰	۰,۹۹۴	۰,۴۹۷
سایر	۰,۸۲۲	۰,۹۲۳	۰,۹۴۰	۰,۸۹۲
جنگل	۰,۸۴۶	۰,۹۲۶	۰,۹۲۱	۰,۹۲۴
سایر	۰,۹۹۹	۰,۹۶۹	۰,۹۹۵	۰,۹۹۳
ضریب کاپا	۰,۴۷۷	۰,۸۹۴	۰,۹۲۳	۰,۴۹۵
صحت کلی (درصد)	۶۶,۲۶۰	۹۶,۶۹۴	۹۶,۲۳۳	۶۶,۷۸۹

سپس منحنی ROC (Receiver Operating Characteristic) طبقه‌بندی‌ها رسم شد (شکل ۷).



شکل ۷ (الف): منحنی ROC طبقه بندی بردار پشتیبان جنگل‌های روستای به‌زار (راست) و انار (چپ) (سال بررسی ۱۳۹۴).



شکل ۷ (ب): منحنی ROC طبقه بندی درخت تصمیم. جنگل‌های روستای به‌زار و انار (راست) و انار (چپ) (سال بررسی ۱۳۹۴).

### بحث و نتیجه‌گیری

این مطالعه یکی از اولین مطالعات در برآورد و استخراج پارامترهای تک‌درختان از تصاویر ماهواره‌ای با قدرت تفکیک بالا می‌باشد. سطح بالایی از صحت در برآورد سطح تاج پوشش، قطر تاج پوشش و ارتفاع درختان با تصاویر ماهواره‌ای به دست آمد. در روش درخت تصمیم، ضریب کاپای ۰/۴۸۶ / ۰/۴۹۵ در رو ستای انار و ۰/۴۷۷ در رو ستای به‌زار) و صحت کلی ۶۶/۵۲ در صد (۶۶/۷۸ در صد رو ستای انار و ۶۶/۲۶ در صد رو ستای به‌زار) به دست آمد و در روش بردار پشتیبان ضریب کاپای ۰/۹۰۸ / ۰/۹۲۳ در رو ستای انار و ۰/۸۹۴ در رو ستای به‌زار) و صحت کلی ۹۶/۹۴۶ در صد (۹۶/۲۳ در صد رو ستای انار و ۹۶/۶۹ در صد رو ستای به‌زار) به دست آمد. درخت تصمیم‌گیری، دقت کلی و دقت تولیدکننده درخت پایین‌تری در مقایسه با روش فوق نشان داد که نشان‌دهنده این است که پیکسل‌های درختان به‌خوبی شناسایی نشده‌اند. همچنین ضریب کاپا برای روش SVM مقدار بالاتری را نسبت به روش درخت تصمیم نشان می‌دهد. این موضوع نشان‌دهنده بالاتر بودن صحت طبقه‌بندی این دو روش است. پس روش بردار پشتیبان و روش درخت تصمیم به ترتیب دارای بالاترین صحت طبقه‌بندی در منطقه مطالعاتی بودند. جدول ۷ مقایسه صحت به دست آمده در استخراج تک‌درختان با روش‌های طبقه‌بندی درخت تصمیم و بردار پشتیبان، میانگین در هر دو سایت با روش

ماتریس پیچیدگی را نشان می‌دهد. در مقایسه با روش AUC نیز روش بردار پشتیبان و روش درخت تصمیم به ترتیب دارای بالاترین صحت طبقه‌بندی در هر دو منطقه مطالعاتی بودند (جدول ۸).

### جدول ۸: مقایسه DT و SVM در سایت‌ها با ماتریس و AUC در بله‌زار و انار (سال بررسی ۱۳۹۴).

AUC		ماتریس		روش طبقه‌بندی میزان صحت
بردار پشتیبان	درخت تصمیم	بردار پشتیبان	درخت تصمیم	
۰/۹۷۰	۰/۹۴۸	۹۶/۴۶	۶۶/۵۲	صحت کلی (درصد)
		۰/۹۰۸	۰/۴۸۶	ضریب کاپا

در ارزیابی صحت تاج پوشش نیز روش بردار پشتیبان در هر دو سایت دارای بالاترین همبستگی ضریب تبیین بود. پس‌از آن درخت تصمیم قرار گرفتند (جدول ۹). در ارزیابی صحت قطر متوسط تاج پوشش SVM دارای بالاترین ضریب همبستگی بود پس‌از آن درخت تصمیم قرار گرفتند (جدول ۹). ارزیابی صحت سطح تاج پوشش در تصاویر wv-2 با ارتفاع درختان در بردار دارای بالاترین همبستگی به‌طور میانگین بود (جدول ۹).

### جدول ۹: ضریب همبستگی سطح تاج پوشش wv-2 قطر متوسط تاج پوشش wv-2 با زمینی و ضریب همبستگی سطح تاج پوشش در تصاویر wv-2 با ارتفاع درختان در بله‌زار و انار (سال بررسی ۱۳۹۴).

بردار		درخت تصمیم										
سطح تاج پوشش در تصاویر wv-2 با ارتفاع درختان	قطر متوسط تاج پوشش wv-2 با زمینی	سطح تاج پوشش در تصاویر wv-2 با ارتفاع درختان		قطر متوسط تاج پوشش wv-2 با زمینی		سطح تاج پوشش wv-2 با زمینی						
		انار	بله زار	انار	بله زار	انار	بله زار					
۰/۶۵۷	۰/۶۹۵	۰/۹۱۵	۰/۸۸۳	۰/۹۸۲	۰/۹۴۹	۰/۶۰۰	۰/۶۸۳	۰/۷۰۸	۰/۸۲۸	۰/۶۳۲	۰/۹۶۴	ضریب R <sup>2</sup>
۰/۸۱۱	۰/۸۲۴	۰/۹۱۲	۰/۹۳۹	۰/۹۹۱	۰/۹۷۴	۰/۷۷۵	۰/۸۲۷	۰/۸۴۱	۰/۹۶۳	۰/۷۹۵	۰/۹۸۲	ضریب r
	۰/۶۷۶		۰/۹۰۰		۰/۹۶۵		۰/۶۴۱		۰/۷۶۸		۰/۷۹۸	میانگین R

نتایج این پژوهش نشان می‌دهد که از داده‌های WV-2 می‌توان برای پیش‌بینی پارامترهای درخت مانند سطح تاج پوشش، قطر برابر سینه، ارتفاع درخت، تعداد درخت و بیوماس در سطح جنگل‌های زاگرس ایران استفاده نمود. ارتفاع درختان می‌تواند به‌طور مستقیم از مدل سطح دیجیتال با تصاویر پرنده به‌دست‌آمده آید. سطح تاج پوشش و قطر تاج پوشش دارای همبستگی R<sup>2</sup> بسیار بالایی با داده‌های زمینی هستند. ترکیب داده‌های پرنده با داده‌های ماهواره‌ای WV-2 می‌تواند بسیار مفید برای تشریح تنوع زیستی و نظارت بر تغییرات در تنوع زیستی جنگل باشد.

روش‌های طبقه‌بندی پیکسل پایه و شی پایه به‌طور گسترده‌ای برای مطالعات سنجش‌ازدور جنگل استفاده می‌شود ( Krzystek et al., 2020; Takahashi et al., 2020; Immitzer et al., 2019; Bright et al., 2020; Hirschmugl et al., 2020).

و در مطالعات درختان جنگلی بسیار موفق بوده است ( Kuželka et al., 2020; Obata et al., 2020; Qiu et al., 2020; Kokubu et al., 2020). روش بردار در استخراج تک‌درختان جنگل با استفاده از داده‌های طیفی از پتانسیل بیشتری در مقایسه با روش‌های درخت تصمیم برخوردار است. مزیت روش بردار پشتیبان به روش‌های حد آستانه‌ای در این است که نیازی به دانستن خصوصیات فیزیکی ندارد و با داشتن داده‌های آموزشی زیاد و باکیفیت، نتیجه مطلوبی را به کاربر می‌دهد. نتایج این تحقیق نشان می‌دهد که روش درخت تصمیم نیز نتایج مطلوبی را برای کاربر فراهم می‌نماید. در حالت طبقه‌بندی دو کلاسه، روش SVM، قابلیت خوبی برای شناسایی درختان دارد. با توجه به نتایج

به دست آمده از به کارگیری داده‌های طیفی تصویر ماهواره‌ای WV-2 در برآورد سطح تاج پوشش مشخص شد که این داده‌ها قابلیت برآورد مشخصه‌های کمی سطح تاج پوشش جنگل‌های بلوط و استخراج تک‌درختان در منطقه مورد مطالعه را با دقت مناسب دارند. ارتباط خوبی بین قطر تاج درختان با اندازه‌گیری زمینی و اندازه‌گیری شده با WV-2 وجود دارد که اشاره می‌کند که استخراج از داده‌های ماهواره‌ای دارای صحت عالی هستند، به طوری که ضریب R برای قطر تاج درختان جنگل را به طور میانگین ۰/۸۵ به دست آمد؛ که با نتایج Shrestha و Wynne (۲۰۱۲) منطبق است آنان نیز ضریب همبستگی ۰/۹ برای قطر تاج به دست آوردند. همان طور که Pande-Chhetri و همکاران (۲۰۱۷) در برآورد پوشش گیاهی تالاب با تصاویر WV-2 دریافتند که روش شی پایه بر روش پیکسل پایه برتری داشته در تحقیق کنونی نیز طبقه‌بندی شی پایه به صورت مشخصی از سایر طبقه‌بندی‌ها عملکرد بهتری دارد. همچنان که نتایج این تحقیق نشان می‌دهد که طبقه‌بندی SVM برتری عملکرد بارزی نسبت به درخت تصمیم دارد. نتایج به دست آمده با نتایج Thanh Noi و Kappas (۲۰۱۸)، Raczko و Zagajewski (۲۰۱۷)، Raskshita و همکاران (۲۰۱۷)، Pande-Chhetri و همکاران (۲۰۱۷)، Okojie (۲۰۱۷)، Juniati و Arrofioh (۲۰۱۷)، Shafri و Ramle (۲۰۰۹)، Poteau و همکاران (۲۰۱۱)، Shao، Lunetta (۲۰۱۲)، Kim و همکاران (۲۰۱۲)، Amami و همکاران (۲۰۱۲)، Erfanifard (۲۰۱۴)، Ghasemian و Akhondzadeh (۲۰۱۶)، Chenari و همکاران (۲۰۱۷) مطابق می‌باشد. همبستگی بسیار بالای بین برآورد تاج پوشش از تصاویر ماهواره‌ای و زمینی نشان می‌دهد که می‌توان پارامتر تاج پوشش را از تصاویر برآورد نمود. مقایسه بین میزان تاج پوشش برآوردی با تاج پوشش سطح زمین در هر سه روش نشان می‌دهد که در سطح ۵ درصد معنی‌داری هیچ اختلافی بین داده‌های زمینی و برآورد ماهواره‌ای وجود ندارد. این نشان‌دهنده این موضوع است که مدل‌های ناپارامتریک استفاده شده در مطالعه تفاوت معنی‌داری با واقعیت زمینی ندارند. پژوهشگرانی مانند Thanh Noi و Kappas (۲۰۱۸)، Wen و همکاران (۲۰۱۷) و Sedliak و همکاران (۲۰۱۷) صحت طبقه‌بندی با تصاویر WV-2 در استخراج تاج پوشش را بین ۶۰ تا ۹۵ درصد به دست آورده‌اند با در نظر گرفتن مطالعات پژوهشگران دیگر در زمینه استخراج عارضه با استفاده از الگوریتم‌ها مشاهده می‌شود که پژوهش حاضر نسبت به مطالعات دیگر از دقت مطلوبی برخوردار است. در نتیجه می‌توان از تصاویر WV-2 به جای آماربرداری زمینی برای محاسبه مساحت تاج پوشش جنگل‌ها استفاده کرد که با نتایج Ma و همکاران (۲۰۱۷) سازگار است. با توجه به ساده و کارآمد بودن روش DT که دقت قابل قبولی را از خود نشان داد، می‌توان کاربرد این روش را نیز در مباحث مرتبط توصیه کرد. مدل‌های پیش‌بینی از این مطالعه، اگرچه برای درختان در جنگل‌های زاگرس بررسی شده‌اند، اما می‌توانند برای سایر سطوح جنگلی نیز با اقلیم مشابه و ترکیب گونه‌ای مشابه به کار روند. این نوع پیش‌بینی با تصاویر پرنده به ارزیابی صحیح کیفیت ذخیره کربن درختان در سطح درختان منفرد کمک خواهد کرد. مطالعات بیشتر بایستی توسعه داده شوند که بتوانیم پارامترهای بیوفیزیکی مانند شاخص سطح برگ، حجم ساقه، غیره را پیش‌بینی نمود. جداول مدیریتی برای برنامه‌ریزان جنگل‌ها مانند سطح فعالیت‌های پرورشی جنگل، پتانسیل آسیب‌پذیری در بلایا و سن کلاس از درختان جنگل مفید است. قابلیت کاربردی بودن این مدل‌ها می‌تواند داده‌های نامناسب از سطوح جنگلی دیگر را بهبود دهد و اگر منطقه قابل دسترس نباشد با استفاده از این معادلات می‌توان درختان از سطوح جنگلی را به جای حضور در عرصه برآورد نمود.

## منابع

- Alonzo, M., Bookhagen, B. and Roberts, D. A., 2014. Urban tree species mapping using hyperspectral and lidar data fusion. *Remote Sensing of Environment*, 148: 70–83.
- Alonzo, M., Roth, K. and Roberts, D., 2013. Identifying Santa Barbara's urban tree species from AVIRIS imagery using canonical discriminant analysis. *Remote Sensing of Letters*, 4: 513–521.
- Amami, R., Ben Ayed, D. and Ellouze, N., 2012. An Empirical compares on of SVM and some supervised learning algorithms for vowel recognition. *International Journal of Intelligent Information Processing (IJIP)*, Vol 3.

**Ardila, J.P., Tolpekin, V.A., Bijker, W. and Stein, A., 2011.** Markov-random-field-based super-resolution mapping for identification of urban trees in VHR images. *ISPRS Journal of Photogrammetry and Remote Sensing*, 66: 762–775.

**Aubry-Kientz, M., Dutrieux, R., Ferraz, A., Saatchi, S., Hamraz, H., Williams, J., Coomes, D., Piboule, A. and Vincent, G., 2019.** A Comparative Assessment of the Performance of Individual Tree Crowns Delineation Algorithms from ALS Data in Tropical Forests. *Remote Sensing*, 11: 1086.

**Boschetti, M., Boschetti, L., Oliveri, S., Casati, L. and Canova, I., 2007.** Tree species mapping with airborne hyper-spectral MIVIS data: The Ticino Park study case. *International Journal of Remote Sensing*, 28: 1251–1261.

**Braga, J. R., Peripato, V., Dalagnol, R., Ferreira, M. P., Tarabalka, Y., Aragão, L. E., de Campos Velho, H. F., Shiguemori, E. H. and Wagner, F. H., 2020.** Tree Crown Delineation Algorithm Based on a Convolutional Neural Network. *Remote Sensing*, 12(8):1288.

**Berhane, T. M., Lane, C. R., Wu, Q., Anenkhonov, O. A., Chepinoga, V. V., Autrey, B. C. and Liu H., 2018.** Comparing pixel-and object-based approaches in effectively classifying wetland-dominated landscapes. *Remote sensing*, 10(1):46.

**Berhane TM, Lane CR, Wu, Q, Autrey, B. C., Anenkhonov, O. A., Chepinoga, V. V. and Liu H., 2018.** Decision-tree, rule-based, and random forest classification of high-resolution multispectral imagery for wetland mapping and inventory. *Remote sensing*, 10(4):580.

**Bright, B. C., Hudak, A. T., Egan, J. M., Jorgensen, C. L., Rex, F. E., Hicke, J. A. and Meddens, A. J., 2020.** Using Satellite Imagery to Evaluate Bark Beetle-Caused Tree Mortality Reported in Aerial Surveys in a Mixed Conifer Forest in Northern Idaho, USA. *Forests*, 11: 529.

**Burges, C. J. C., 1998.** A tutorial on support vector machines for pattern recognition. *Data Mining and Knowledge Discovery*, 2, 121-167.

**Chenari, A., Erfanfard, S.Y., Dehghani, M. and Pourghasemi, H., 2017.** Woodland mapping at single-tree levels using Object-Oriented classification of UAV images. *The International Archives of the Photogrammetry, Remote Sensing and Spatial Information Sciences*, Vol XLII-4/W4.

**Dong, X., Zhang, Z., Yu, R., Tian, Q., and Zhu, X., 2020.** Extraction of information about individual trees from high-spatial-resolution UAV-acquired images of an orchard. *Remote Sensing*, 12(1): 133.

**Erfanfard, S. Y., 2014.** Application of ROC curve to assess pixel-based classification methods on UltraCam-D aerial imagery to discriminate tree crowns in pure stands of Brant's oak in Zagros forests. *Iranian Journal of Forest and Poplar Research*, Vol. 22 No. 4. (In Persian).

**Fassnacht, F. E., Latifi, H., Stereńczak, K., Modzelewska, A., Lefsky, M., Waser, L.T., Straub, C. and Ghosh, A., 2016.** Review of studies on tree species classification from remotely sensed data. *Remote Sensing of Environment*, 186: 64–87.

**Feng, X. and Li, P., 2019.** A Tree Species Mapping Method from UAV Images over Urban Area Using Similarity in Tree-Crown Object Histograms. *Remote Sensing*, 11: 1982.

**Friedl, M. A. and Brodley, C.E., 1997.** Decision tree classification of land cover from remotely sensed data. *Remote Sensing of Environment*. 61: 399–409.

**Ghasemian, N. and Akhondzadeh, M., 2016.** Comparison of methods of artificial neural networks, support vector machine and decision tree to identify clouds in Landsat 8 satellite images. *Geospatial Engineering Journal*. 7 (4): 25-36. (In Persian).

**Gunn, Steve, R., 1998.** Support Vector Machines for Classification and Regression, Technical report, University of Southampton, May 1998.

**Hartling, S., Sagan, V., Sidike, P., Maimaitijiang, M., and Carron, J., 2019.** Urban tree species classification using a WorldView-2/3 and LiDAR data fusion approach and deep learning. *Sensors*, 19(6): 1284.

**Heumann, B. W., 2011.** Object-based classification of mangroves using a hybrid decision tree—support vector machine approach. *Remote Sensing*. 3: 2440–2460.

**Hirschmugl, M., Deutscher, J., Sobe, C., Bouvet, A., Mermoz, S. and Schardt, M., 2020.** Use of SAR and Optical Time Series for Tropical Forest Disturbance Mapping. *Remote Sensing*, 12: 727.

- Immitzer, M., Atzberger, C. and Koukal, T., 2012.** Tree Species Classification with Random Forest Using Very High Spatial Resolution 8-Band WorldView-2 Satellite Data. *Remote Sensing*, 4: 2661–2693.
- Immitzer, M., Neuwirth, M., Böck, S., Brenner, H., Vuolo, F. and Atzberger, C., 2019.** Optimal Input Features for Tree Species Classification in Central Europe Based on Multi-Temporal Sentinel-2 Data. *Remote Sensing*, 11: 2599.
- Irulappa-Pillai-Vijayakumar, D. B., Renaud, J. P., Morneau, F., McRoberts, R. E. and Vega, C., 2019.** Increasing Precision for French Forest Inventory Estimates using the k-NN Technique with Optical and Photogrammetric Data and Model-Assisted Estimators. *Remote Sensing*, 1: 991.
- Jensen, J. R., 2005.** Introductory digital image processing: a remote sensing perspective. third edition. Prentice Hall, Inc, NJ, USA.
- Juniati, E. and Arrofiqoh, E. N., 2017.** Comparison of Pixel-Based and Object-Based classification using parameters and non-parameters approach for the pattern consistency of multiscale land cover. *The International Archives of the Photogrammetry, Remote Sensing and Spatial Information Sciences*, Volume XLII-2/W7.
- Kwak, D. A., Lee, W. K., Lee, J. H., Biging, G. S. and Gong, P., 2017.** Detection of individual trees and estimation of tree height using lidar data. *Journal of Forest Reserch*, 12, 425–434.
- Klim, J., Kim, B. S. and Savarese, S., 2012.** Comparing image classification methods: K-nearest-neighbor and support-vector-machines. *Applied Mathematics in Electrical and Computer Engineering*, Harvard, Cambridge. USA.
- Kokubu, Y., Hara, S. and Tani, A., 2020.** Mapping Seasonal Tree Canopy Cover and Leaf Area Using Worldview-2/3 Satellite Imagery: A Megacity-Scale Case Study in Tokyo Urban Area. *Remote Sensing*, 12: 1505.
- Krzystek, P., Serebryanyk, A., Schnörr, C., Červenka, J. and Heurich, M., 2020.** Large-Scale Mapping of Tree Species and Dead Trees in Šumava National Park and Bavarian Forest National Park Using Lidar and Multispectral Imagery. *Remote Sensing*, 12:661.
- Kuželka, K., Slavík, M. and Surový, P., 2020.** Very High Density Point Clouds from UAV Laser Scanning for Automatic Tree Stem Detection and Direct Diameter Measurement. *Remote Sensing*, 12:1236.
- Li, D., Ke, Y., Gong, H. and Li, X., 2015.** Object-Based Urban Tree Species Classification Using Bi-Temporal WorldView-2 and WorldView-3 Images. *Remote Sensing*, 7: 16917–16937.
- Liang, S., Liu, J. and Liang, M., 2004.** Ecological study on the mangrove communities in Beilun Hekou national nature reserve. *J. Guangxi Normal University*. 22 (2): 70–76.
- Liu, C. C., Chen, Y. H., Wu, M. H. M., Wei, C. and Ko, M. H., 2019.** Assessment of forest restoration with multitemporal remote sensing imagery. *Scientific Reports* 9: 7279. <https://doi.org/10.1038/s41598-019-43544-5>
- Liu, L., Coops, N. C., Aven, N. W. and Pang, Y., 2017.** Mapping urban tree species using integrated airborne hyperspectral and LiDAR remote sensing data. *Remote Sensing of Environment*, 200: 170–182.
- Ma, Q., Su, Y. and Guo, Q., 2017.** Comparison of Canopy Cover Estimations from Airborne LiDAR, Aerial Imagery, and Satellite Imagery. *IEEE Journal of Selected Topics in Applied Earth Observations and Remote Sensing*, DOI: 10.1109/JSTARS.2017.2711482.
- Obata, S., Bettinger, P., Cieszewski, C. J., and Lowe, R. C., 2020.** Mapping Forest Disturbances between 1987–2016 Using All Available Time Series Landsat TM/ETM+ Imagery: Developing a Reliable Methodology for Georgia, United States. *Forests*, 11: 335.
- Okojie, J., 2017.** Assessment of forest tree structural parameter extractability from optical imaging UAV dataset. Thesis msc University of Twente, Enschede, the Netherlands.
- Pal, M. and Mather, P. M., 2003.** An assessment of the effectiveness of decision tree methods for land cover classification. *Remote Sensing of Environment*. 86: 554–565.
- Pande-Chhetri, R., Abd-Elrahman, A., Liu, T., Morton, J. and Wilhelm, V. L., 2017.** Object-based classification of wetland vegetation using very high-resolution unmanned air system imagery. *European Journal of Remote Sensing*, 50 (1): 564–576.
- Phantom, D. J. I., 2018.** Pro/pro+ User Manual. 66pp
- Pu, R. and Landry, S., 2012.** A comparative analysis of high spatial resolution IKONOS and WorldView-2 imagery for mapping urban tree species. *Remote Sensing of Environment*, 124: 516–533.

- Qian, Y., Zhou, W., Yan, J., Li, W. and Han, L., 2015.** Comparing machine learning classifiers for Object-Based land cover classification using very high resolution imagery. *Remote Sensing*, 7: 153-168.
- Qiu, L., Jing, L., Hu, B., Li, H. and Tang, Y., 2020.** A New Individual Tree Crown Delineation Method for High Resolution Multispectral Imagery. *Remote Sensing*, 12: 585.
- Quinlan, J. R., 1986.** Induction of decision trees. *Mach. Learn.*, 1: 81–106.
- Quinlan, J. R., 1992.** Learning with continuous classes. In proceedings AI, 92 (Adams& Sterling, Eds), Singapore: World Scientific, PP. 343-348.
- Quinlan, J. R., 1993.** C4.5 Programs for Machine Learning. Morgan Kaufmann Publishers, Inc., San Mateo, USA.
- Raczko, E. and Zagajewski, B., 2017.** Comparison of support vector machine, random forest and neural network classifiers for tree species classification on airborne hyperspectral APEX images. *European Journal of Remote Sensing*, 50:1, 144-154. DOI: 10.1080/22797254.2017.1299557.
- Sedliak, M., Sačkov, I. and Kulla, L., 2017.** Classification of tree species composition using a combination of multispectral imagery and airborne laser scanning data. *Central European Forestry Journal*, 63: 1–9.
- Shrestha, R. and Wynne, R. H., 2012.** Estimating biophysical parameters of individual trees in an urban environment using small footprint discrete-return imaging Lidar. *Remote Sensing*, 4: 484-508. doi: 10.3390/rs4020484
- Shafri, H. Z. M. and Ramle, F. S. H., 2009.** A Comparison of support vector machine and decision tree classifications using satellite data of Langkawi Island. *Information Technology Journal*, 8(1): 64-70.
- Shao, Y. and Lunetta, R. S., 2012.** Comparison of support vector machine, neural network, and CART algorithms for the land cover classification using MODIS time-series data. *ISPRS Journal of Photogrammetry and Remote Sensing*, 70: 78-87.
- Steinwart, I. and Christmann, A., 2008.** Support Vector Machines. Springer-Verlag, New York, ISBN: 978-0-387-77241-7.
- Stych, P., Jerabkova, B., Lastovicka, J., Riedl, M. and Paluba, D., 2019.** A Comparison of WorldView-2 and Landsat 8 Images for the Classification of Forests Affected by Bark Beetle Outbreaks Using a Support Vector Machine and a Neural Network: A Case Study in the Sumava Mountains. *Geosciences*, 9: 396.
- Takahashi Miyoshi, G., Imai, N. N., Garcia Tommaselli, A. M., Antunes de Moraes, M. V. and Honkavaara, E., 2020.** Evaluation of Hyperspectral Multitemporal Information to Improve Tree Species Identification in the Highly Diverse Atlantic Forest. *Remote Sensing*, 12: 244.
- Thanh Noi, P. and Kappas, M., 2018.** Comparison of random forest, k-nearest neighbor, and support vector machine classifiers for land cover classification using Sentinel-2 imagery. *Sensors*, 18: 18.
- Tooke, T. R., Coops, N. C., Goodwin, N. R. and Voogt, J. A., 2009.** Extracting urban vegetation characteristics using spectral mixture analysis and decision tree classifications. *Remote Sensing of Environment*. 113: 398–407.
- Vapnik, Vladimir., 2013.** The nature of statistical learning theory. Springer science & business media. 311pp
- Weinstein, B. G., Marconi, S., Bohlman, S., Zare, A. and White, E., 2019.** Individual Tree-Crown Detection in RGB Imagery Using Semi-Supervised Deep Learning Neural Networks. *Remote Sensing*, 11: 1309.
- Wen, D., Huang, X., Liu, H., Liao, W. and Zhang, L., 2017.** Semantic Classification of Urban Trees Using Very High Resolution Satellite Imagery. *IEEE Journal of Selected Topics in Applied Earth Observations and Remote Sensing*.
- West, P. W., 2017.** Tree and Forest Measurement. Springer. Berlin, Heidelberg. 218pp
- Xiao, Q., Ustin, S. L. and McPherson, E. G., 2004.** Using AVIRIS data and multiple-masking techniques to map urban forest tree species. *International Journal of Remote Sensing*, 25: 5637–5654.
- Xu, M., Watanachaturaporn, P., Varshney, P. K. and Arora, M. K., 2005.** Decision tree regression for soft classification of remote sensing data. *Remote Sensing of Environment*. 97: 322–336.
- Zhang, C. and Qiu, F., 2012.** Mapping Individual Tree Species in an Urban Forest Using Airborne Lidar Data and Hyperspectral Imagery. *Photogrammetric Engineering and Remote Sensing*, 78: 1079–1087.
- Zhang, Z., Kazakova, A., Moskal, L. M. and Styers, D. M., 2016.** Object-Based Tree Species Classification in Urban Ecosystems Using LiDAR and Hyperspectral Data. *Forest*, 7: 122.